

ПУЛКОВСКИЙ ОБЗОР НЕБА В РАДИОЛИНИИ МЕЖЗВЕЗДНОГО НЕЙТРАЛЬНОГО ВОДОРОДА. II

НЕЙТРАЛЬНЫЙ ВОДОРОД В РАЙОНЕ ПЕТЛИ II

Н. В. Быстроева, И. А. Рахимов

Приведены полученные на Большом пулковском радиотелескопе с полосой приемника 20 кгц восемь кривых прохождения для склонений от $0^{\circ}00'$ до $+17^{\circ}30'$ и прямых восхождений от 1^{h} до 5^{h} на 10 лучевых скоростях.

Eight drift curves obtained with the Large Pulkovo radio telescope at a bandwidth of 20 kc/s are given for declinations between $0^{\circ}00'$ and $+17^{\circ}30'$ and right ascensions from 1^{h} to 5^{h} for 10 radial velocities.

Во II части Пулковского обзора неба в радиолинии нейтрального водорода представлены результаты наблюдений области в районе Петли II. Телескоп, приемник, методика наблюдений и редукций те же, что в I части обзора (см. с. 70). В таблице даны склонения, на которых получались кривые прохождения; приводятся также соответствующие значения F , характеризующие эффективность Большого пулковского радиотелескопа на этих высотах. Во II части обзора переработано на ЭВМ около 2.5 миллионов двоичных единиц информации. На каждом графике в отличие от I части совмещены результаты наблюдений по всем 10 каналам.

Список полученных кривых прохождения

№	δ_{1972}	F
1	$+17^{\circ}30'$	1.17
2	$+14^{\circ}46'$	1.14
3	$+13^{\circ}00'$	1.11
4	$+11^{\circ}36'$	1.09
5	$+09^{\circ}56'$	1.07
6	$+08^{\circ}46'$	1.04
7	$+05^{\circ}36'$	1.04
8	$+00^{\circ}00'$	1.02

Лучевые скорости на графиках, как и в I части, приведены относительно местного стандарта покоя (рис. 1—8).

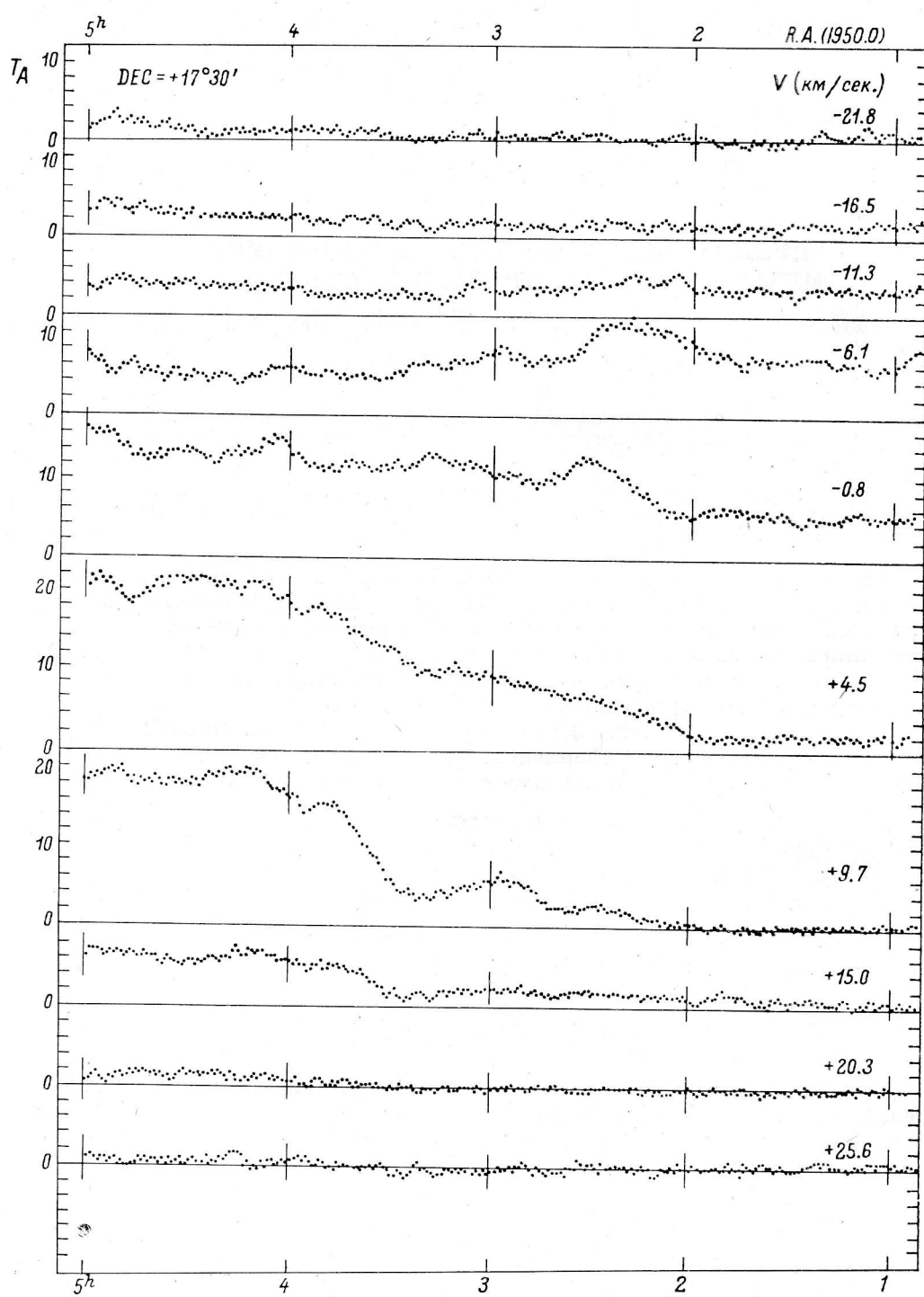


Рис. 1.

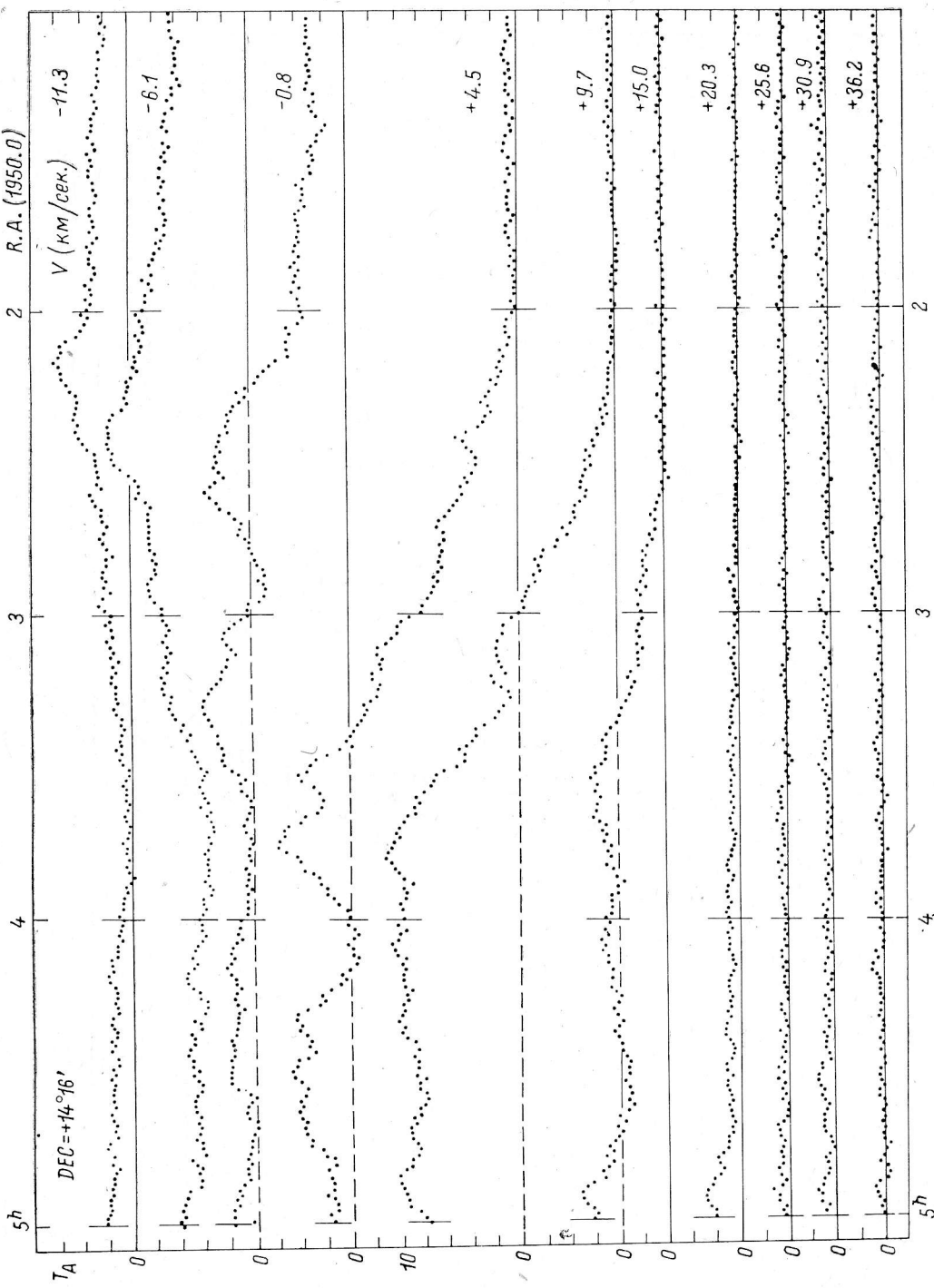


Рис. 2.

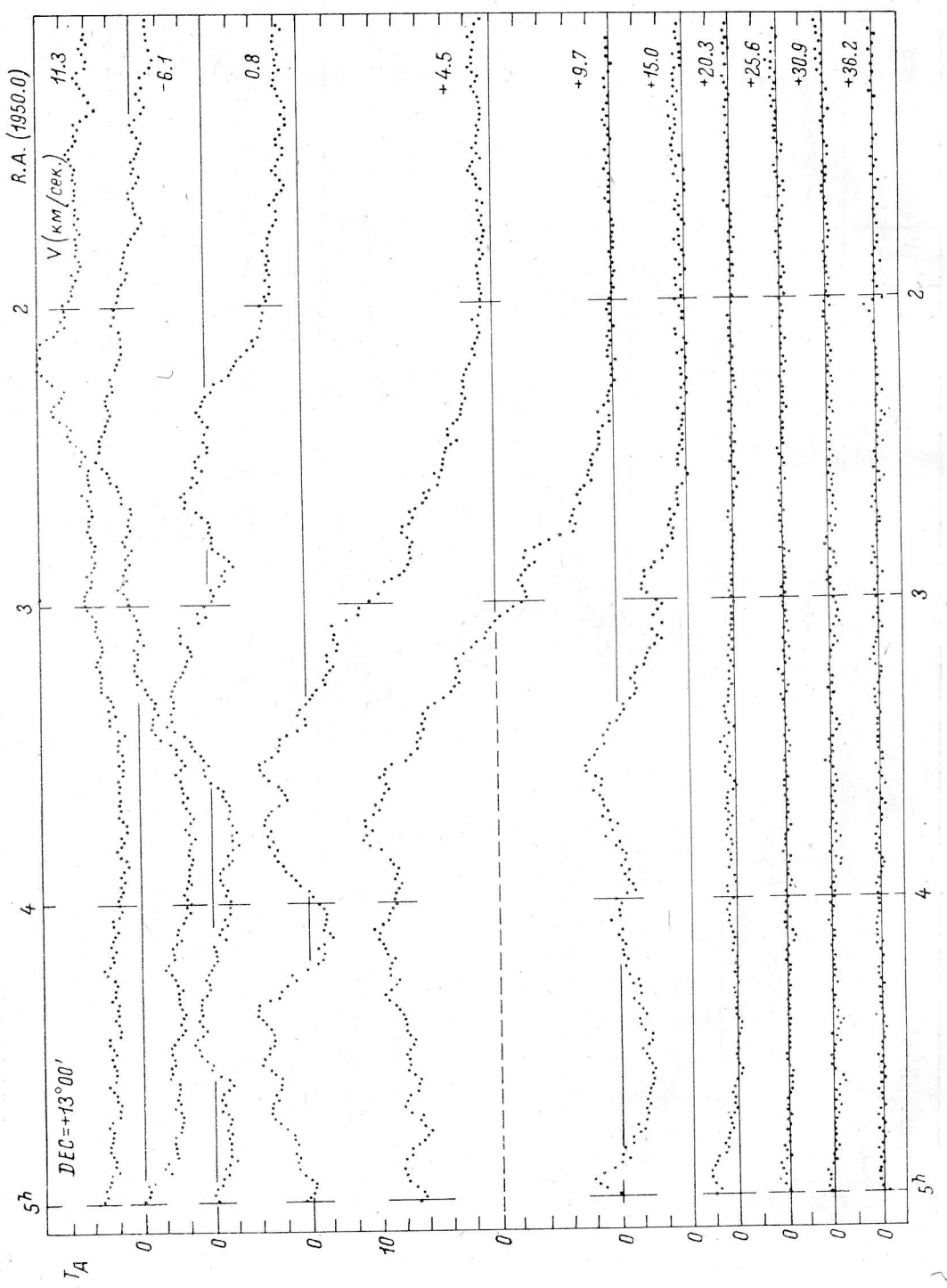


Рис. 3.

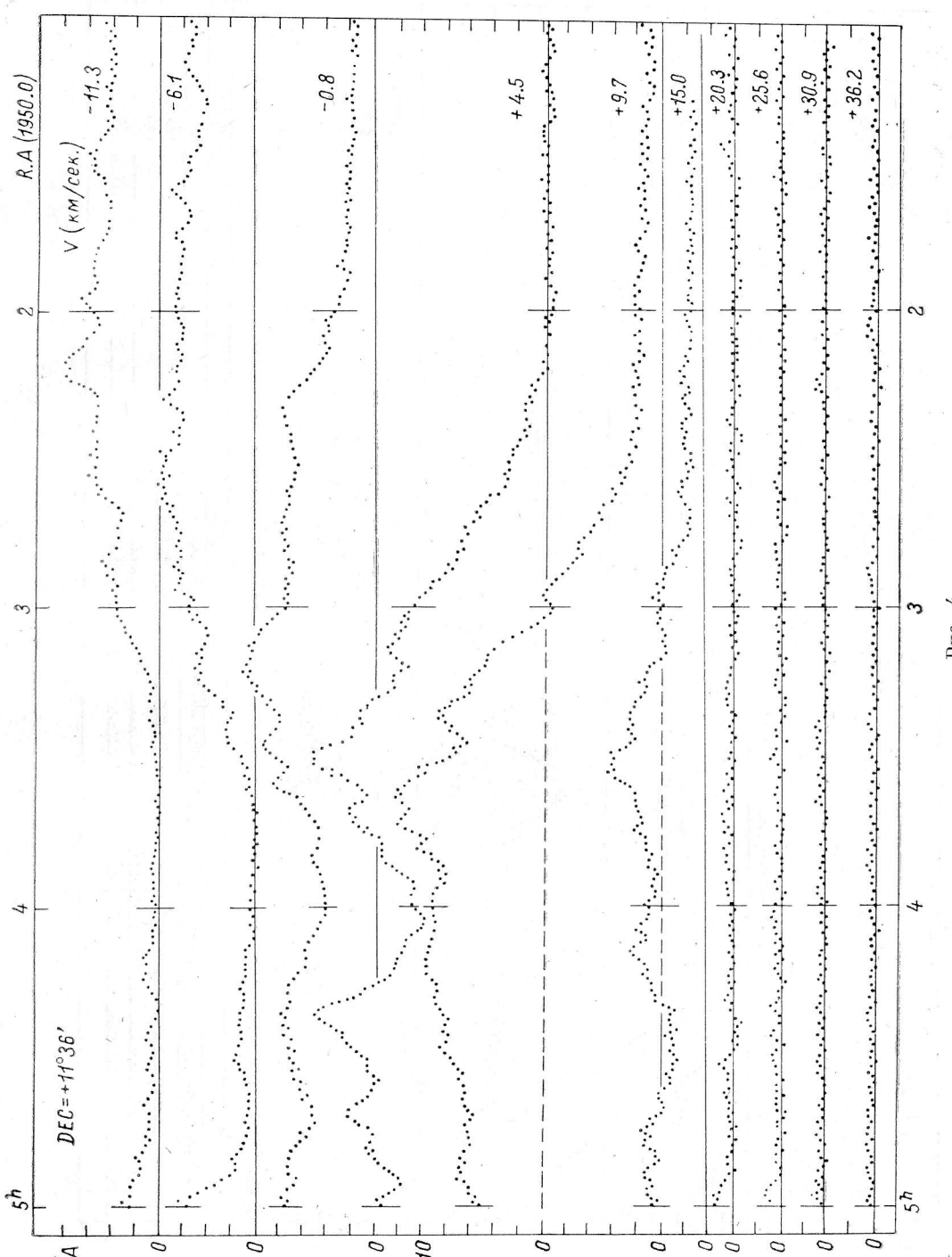


FIG. 4.

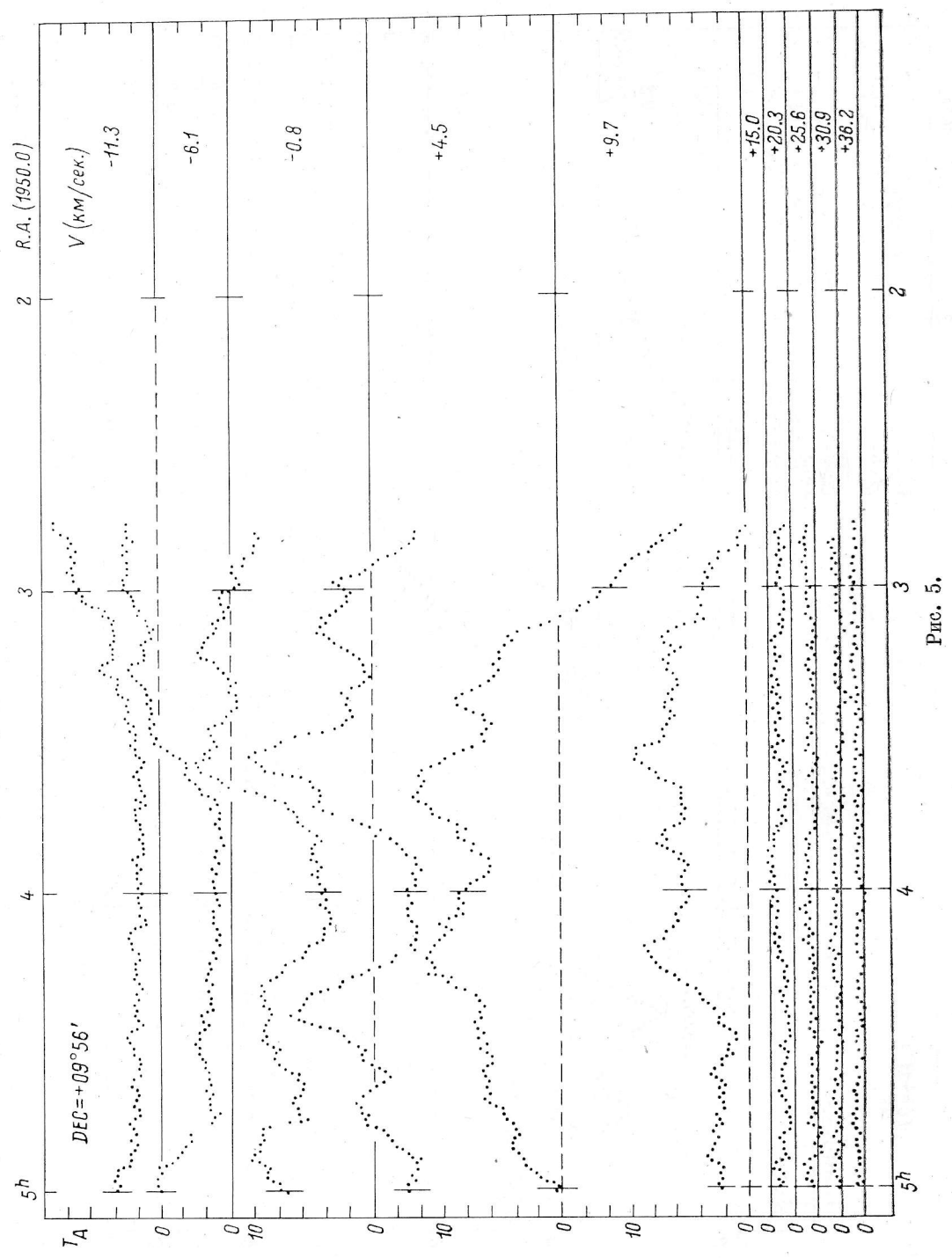


FIG. 5.

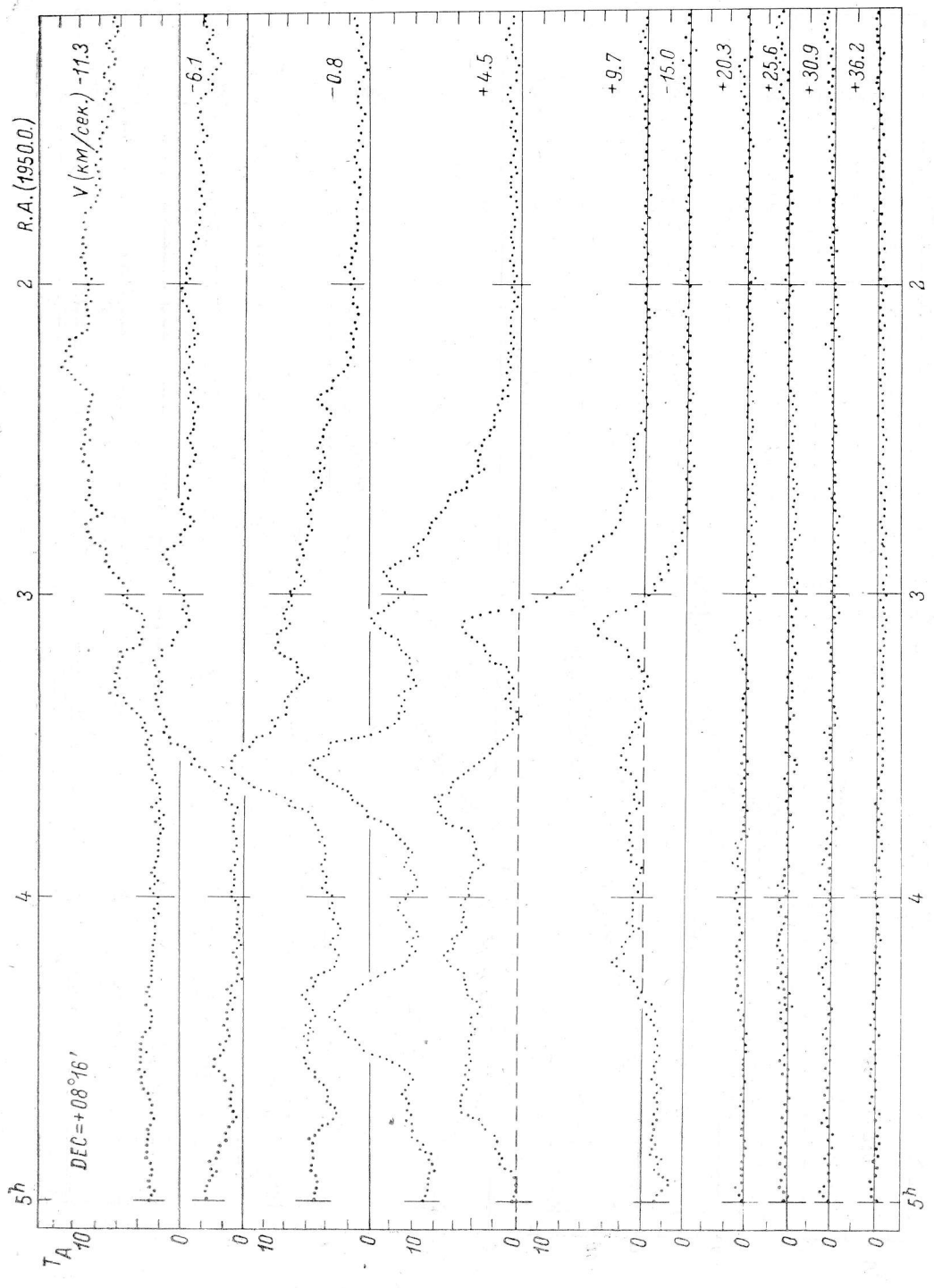


FIG. 6.

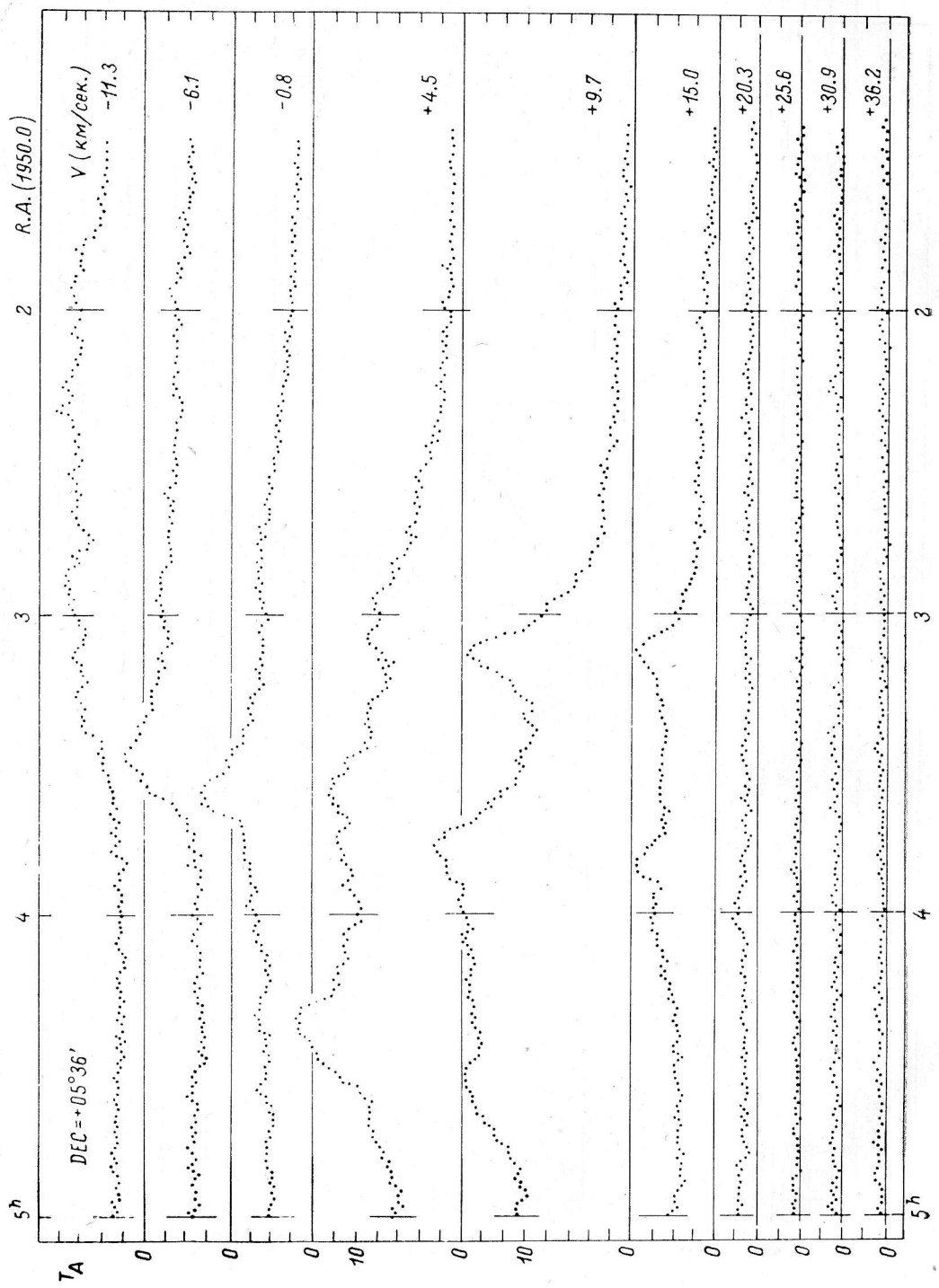


FIG. 7.

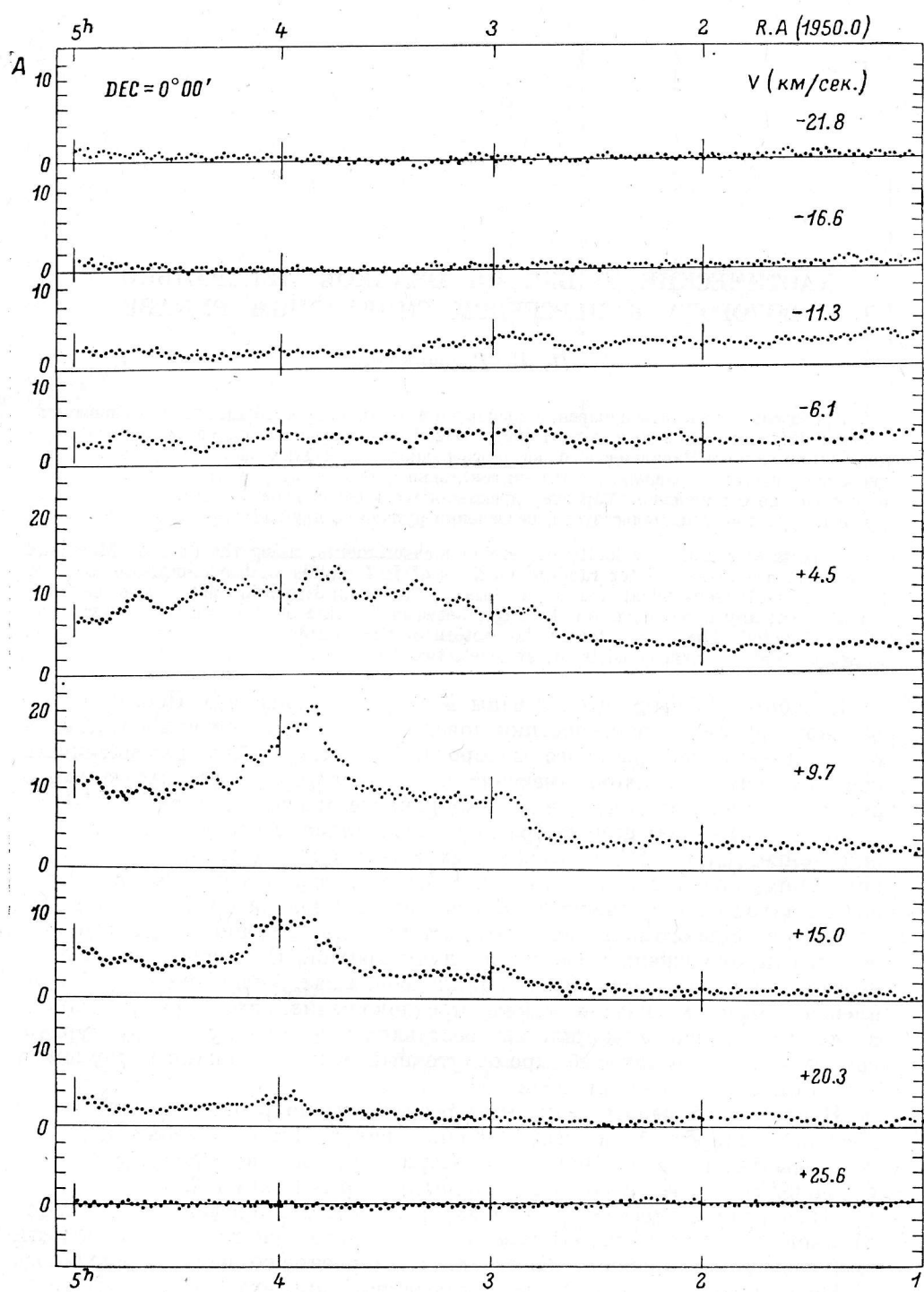


Рис. 8.